

مطالعه آزمایشگاهی تاثیر اندازه دانه بر مدول برشی کرنش-کوچک خاک‌های دانه‌ای

محمد شریفی پور^۱ ابوالحسن شریفی^۲ امیر ریزه بندی^۳

چکیده- در محدوده کرنش‌های کوچک سرعت موج برشی و متعاقب آن مدول برشی یکی از پارامترهای مهم شناخت خواص دینامیکی خاک می‌باشد. در این راستا موضوع شناخت تاثیر اندازه دانه‌ها خاک بر سرعت موج برشی یکی از مسائل مهم می‌باشد. بررسی محققین در گذشته نشان دهنده تاثیر متفاوت اندازه دانه‌های خاک بر مدول موج برشی می‌باشد. هدف این پژوهش بررسی اثرات طیف گسترده ای از اندازه دانه‌های روی مدول برشی در خاک‌های خشک شن و ماسه با استفاده از دستگاه المان خمشی تعبیه شده در سلول سه محوری است. نتایج نشان دهنده حساسیت مدول برشی به تغییرات اندازه‌ی دانه‌های خاک می‌باشد، بطوری‌که در بازه ای از اندازه‌ی دانه‌های خاک با افزایش اندازه قطر دانه‌ها، مدول برشی افزایش و در بازه دیگر با افزایش اندازه‌ی قطر دانه‌ها مدول برشی کاهش می‌یابد.

واژگان کلیدی: سرعت موج برشی؛ خاک دانه‌ای؛ آزمایش المان خمشی؛ مدول برشی؛ رفتار کرنش کوچک

An experimental study on the influences of particle size on small-strain shear modulus of granular soils
Under small strains the shear-wave velocity (V_s) and its resultant maximum shear modulus (G_{max}) are important parameters in geotechnical engineering soil dynamics analyses. In this regard, the evaluation of the influences of soil particle size on the dynamic behaviour of soils during wave propagation has been an important issue in geotechnical engineering. According to the relevant literature, the influences of grain size on shear wave velocity of soil were completely different in various research studies. This research aims to experimentally examine the effects of a wider range of particle sizes, on maximum shear modulus in dry sandy soils, using a bender element apparatus embedded in a triaxial cell. The results indicated that maximum shear modulus of sand was considerably affected by changes in grain size so that in a particular range of grain size, shear modulus increased as the diameter of soil grains rose, while, in the other range, maximum shear modulus diminished with increasing grain diameter..

Keywords: Shear wave velocity; Granular soil; Bender element test; Maximum shear modulus; Small-strain behavior

مقدمه

روش‌های زیادی جهت اندازه‌گیری خواص دینامیکی خاک وجود دارد. معمولاً این دسته‌بندی از لحاظ نحوه اندازه‌گیری به روش‌های آزمایشگاهی و صحرایی تقسیم می‌شوند. پارامترهای محاسبه شده از روش‌های فوق را می‌توان مبنایی برای بیان خواص دینامیکی در کرنش‌های کوچک و بزرگ نامید.

مدول برشی یک پارامتر بسیار مهم در توصیف رفتار خاک در محدوده کرنش‌های کوچک و بزرگ می‌باشد. همچنین

سرعت موج برشی یکی از پارامترهای قابل اندازه‌گیری برای تعیین مدول برشی می‌باشد. سرعت موج برشی تابعی از عوامل مختلف نظیر ۱- خصوصیات فیزیکی ذرات، شامل: شکل ظاهری، دانه‌بندی و اندازه آن ۲- حالت قرارگیری ذرات، شامل: تخلخل، دانسیته ۳- خصوصیات مکانیکی ذرات، شامل: نقاط تماس دانه‌ها، تنش‌های همه‌جانبه و دیگر پارامترها می‌باشد. [۱]

رفتار کرنش کوچک خاک در بازه کرنش کمتر از 10^{-5} تعریف می‌شود. جهت مطالعه خصوصیات دینامیکی خاک

در محدوده کرنش‌های کوچک، از آزمایش‌های محلی ویا آزمایشگاهی استفاده می‌شود. [۲] آزمایش‌های ستون تشدید و المان‌های خمشی به عنوان آزمایش‌های آزمایشگاهی و آزمایش‌های انعکاس و انکسار لرزه‌ای، آنالیز طیفی موجها سطحی، انتشار موجها بین چاهی و درون چاهی به عنوان مهمترین آزمایش‌های سایت یا برجا مورد استفاده محققین می‌باشد.

یکی از موارد قابل بحث، تاثیر اندازه دانه‌های خاک بر سرعت موج برشی در خاک و متعاقب آن مدول برشی می‌باشد. همان‌طور که در رابطه پیشنهادی هاردین و ریچارد [۳] برای مدول برشی مشاهده می‌شود (رابطه ۱)، ضریب A و n به عوامل مختلفی از جمله ضریب یکنواختی، اندازه و شکل دانه‌ها بستگی دارد.

$$G_{max} = A \times f(e) \times \left(\frac{p'}{p_a}\right)^n \quad (1)$$

در این رابطه: p' فشار موثر، p_a فشار اتمسفر و $f(e)$ تابع تخلخل خاک می‌باشد.

محققین نظرهای متفاوتی در خصوص تاثیر اندازه دانه‌های خاک بر سرعت موج برشی و مدول برشی دارند. در ادامه به برخی از این دیدگاه‌ها اشاره می‌شود.

در سال ۱۹۷۷ آیواساکی و همکاران با استفاده از آزمایش ستون تشدید اثر اندازه دانه‌های محلی ژاپن و ماسه توپورا را روی مدول برشی ماسه بررسی نمودند. نتایج حاکی از عدم وابستگی مدول برشی به اندازه دانه‌های خاک می‌باشد [۴].

دلیا و همکاران در سال ۱۹۹۶ مدول برشی سه نمونه خاک در ایتالیا را اندازه‌گیری نمودند. نتایج نشان دهنده افزایش مدول برشی با افزایش اندازه دانه‌های خاک می‌باشد [۵].

شانگ یو در سال ۲۰۰۰ مدول برشی خاک‌های شنی

تایوان در اندازه‌های مختلف را با استفاده از آزمایشات سه محوری دینامیکی بزرگ مقیاس، ستون تشدید و انتشار موج‌ها اندازه‌گیری و نشان داد، در تنش همه جانبه ثابت با افزایش قطر دانه‌های خاک، مدول برشی خاک افزایش می‌یابد [۶].

منک و استوکوتو (۲۰۰۳) با استفاده از دستگاه ستون تشدید دریافتند در تخلخل و فشار همه‌جانبه ثابت با افزایش اندازه‌ی میانگین دانه‌های خاک ماسه‌ای مقادیر مدول برشی نیز اندکی افزایش می‌یابد [۷].

شریفی پور و همکاران در سال ۲۰۰۴ با بکارگیری تکنیک المان خمشی در سلول سه محوری و انتشار موجها در گوی‌های شیشه‌ای به اندازه ۱، ۲ و ۳ میلیمتر نشان‌دادند، با افزایش قطر گوی‌های شیشه‌ای، سرعت موج برشی افزایش می‌یابد [۸].

سال ۲۰۰۴ ساهاپول و همکاران مدول برشی ماسه توپورا و خاک‌های آتشفشانی ژاپن را با استفاده از آزمایش‌های سه محوری سیکلی و المان خمشی اندازه‌گیری نمودند. با اینکه اندازه متوسط دانه‌های خاک توپورو (خاک محلی) درشت‌تر از ماسه توپورا می‌باشد، اما مدول برشی آن کمتر از ماسه توپورا محاسبه گردید [۹]. در سال ۲۰۰۵ هاردین و همکاران نسبت به اندازه‌گیری مدول برشی خاک‌های مختلف (سنگ آهک شنی خرد شده، شن رودخانه‌ای، ماسه اوتاوا، سنگ آهک ماسه‌ای خرد شده و مخلوط ماسه-شن-سیلت) با استفاده از ستون تشدید اقدام نمودند. نتیجه این تحقیقات نشان می‌دهد، با افزایش اندازه قطر متوسط دانه‌های خاک مقدار مدول برشی بیشتر می‌شود [۱۰].

اندازه‌گیری سرعت موجها برشی خاک‌های دانه‌ای با استفاده از دستگاه المان خمشی در سال ۲۰۰۵ توسط تای و همکاران حاکی از افزایش سرعت موج برشی با افزایش

قطر دانه‌های خاک می‌باشد [۱۱].

بارتاک و سینگ در سال ۲۰۰۷ با استفاده از دستگاه المان‌خمش‌ی افزایش اندازه دانه‌های ماسه خشک را موجب کاهش مدول برشی دانستند [۱۲].

طبق نتایج اعلامی پاتل و همکاران در سال ۲۰۰۸ افزایش قطر گوی‌های شیشه‌ای ۰٫۵، ۱٫۵ و ۲٫۵ میلی‌متری در دستگاه المان‌خمش‌ی موجب کاهش سرعت موج برشی می‌شود [۱۳].

سال ۲۰۰۸ کوسکی و همکاران مقدار سرعت موج برشی ماسه توپورا و شن‌هایم را با استفاده از آزمایش المان‌خمش‌ی اندازه‌گیری نمودند. نتایج حاکی از عدم تغییر سرعت موج برشی با افزایش اندازه دانه‌های خاک است [۱۴].

در سال ۲۰۰۹ پاتل و همکاران باز هم با استفاده از دستگاه المان‌خمش‌ی سرعت موج برشی سه نمونه خاک با اندازه ۱، ۲ و ۳ میلی‌متر، در دو حالت خشک و اشباع اندازه‌گیری کردند. نتایج حاکی از کاهش سرعت موج برشی با افزایش قطر دانه‌ها در هر دو حالت خشک و اشباع می‌باشد [۱۵].

در سال ۲۰۰۹ ویچمن و همکاران عنوان نمودند با تغییر اندازه دانه‌های خاک در تخلخل و ضریب یکنواختی ثابت، مدول برشی خاک ثابت می‌ماند [۱۶].

سال ۲۰۱۳ یانگ و همکاران [۱۷] وابستگی مدول برشی به اندازه دانه‌های خاک را با استفاده از المان‌خمش‌ی و ستون تشدید در تراکم‌های مختلف خاک بررسی نمودند. در این مطالعه از گوی‌های شیشه‌ای با اندازه قطرهای مختلف استفاده نمودند. در حالت متراکم هردو آزمایش المان‌خمش‌ی و ستون تشدید تا اندازه دانه‌های ۱ میلی‌متر، مدول برشی کاهش نامحسوس (مخصوصاً تحت فشارهای همه‌جانبه کم) و پس از آن بصورت جزئی

افزایش می‌یابد. در حالت تراکم متوسط تا ۱ میلی‌متر باز هم در هردو آزمایش المان‌خمش‌ی و ستون تشدید مدول برشی بصورت جزئی کاهش، و از آن به بعد در المان‌خمش‌ی مدول برشی کاهش و در ستون تشدید مدول برشی افزایش می‌یابد. در حالت تراکم کم، در هردو آزمایش ستون تشدید و المان‌خمش‌ی با افزایش اندازه قطر متوسط دانه‌ها، مدول برشی خاک کاهش می‌یابد.

جو و همکاران در سال ۲۰۱۳ مقدار مدول برشی سه نوع ماسه خشک را با استفاده از دستگاه المان‌خمش‌ی اندازه‌گیری کردند. نتایج حاکی از کاهش مدول برشی با افزایش قطر دانه‌ها در تنش‌های همه‌جانبه یکسان می‌باشد [۱۸].

کانگ و همکاران تاثیر عوامل موثر بر سرعت موج برشی (اندازه‌ی ذرات و تنش‌های اعمالی) را در سال ۲۰۱۴ بررسی و عنوان نمودند، با افزایش اندازه دانه‌ها سرعت موج برشی نیز افزایش می‌یابد [۱۹].

در سال ۲۰۱۴ لیو و یانگ تاثیر ریزدانه بر مدول برشی به وسیله دستگاه ستون تشدید و المان‌خمش‌ی را روی ماسه‌ی تمیز توپورا و سیلیکات خرد شده به همراه درصد‌های مختلف ریز دانه از ۵ تا ۳۰ درصد انجام دادند، نتایج منجر به کاهش مدول برشی با افزایش ریزدانه گردید [۲۰].

جو و همکاران سال ۲۰۱۴ افزایش اندازه دانه‌های خاک را موجب کاهش میزان مدول برشی دانستند [۲۱].

ستاکیس و همکاران در سال ۲۰۱۵ مدول برشی خاک‌های مختلف را با استفاده از المان‌خمش‌ی اعلام نمودند، اندازه دانه‌ها روی مدول برشی موثر نمی‌باشد [۲۲].

سال ۲۰۱۵ پرادهان و همکاران مقدار سرعت موجها برشی خاک‌های دانه‌ای با استفاده از المان‌خمش‌ی و روش المان‌گسسته اندازه‌گیری نمودند. در این مطالعه از سه نمونه دانه‌های سیلیکا، گوی‌های شیشه‌ای و خاک ماسه‌ای

استفاده نمودند، نتایج تاثیر شکل، اندازه و نوع مصالح را روی سرعت موج برشی را نشان می‌دهد [۲۳].

سال ۲۰۱۶ پایان و همکاران ضمن اصلاح فرمول مرجع [۲] اثر شکل و اندازه دانه‌ها را روی مقدار مدول برشی موثر دانستند [۲۴].

دستاورد محققین مذکور تقریباً به چهار بخش مجزاء بصورت ذیل قابل دسته بندی است:

۱- با افزایش اندازه دانه های خاک، سرعت موج برشی افزایش می‌یابد. ۲- با افزایش اندازه دانه‌های خاک، سرعت موج برشی کاهش می‌یابد. ۳- سرعت موج برشی مستقل از در اندازه دانه‌های خاک می‌باشد. ۴- در یک محدوده از اندازه دانه‌ها، با افزایش قطر متوسط دانه‌های خاک سرعت موج برشی افزایش و در محدوده دیگر با افزایش آنها سرعت موج برشی در خاک کاهش می‌یابد.

وجه تمایز این پژوهش با سایر پژوهش‌ها بررسی دامنه گسترده‌ای از اندازه‌ی دانه‌ها به همراه بررسی ساختار و شکل فیزیکی آنها با استفاده از دستگاه المان خمشی است.
در پژوهش‌های گذشته تنها به اندازه‌ی خاصی محدود بوده و با توجه به اهمیت مدول برشی به عنوان مبنای محاسبات نظری و عملی و جایگاه ویژه‌ی این پارامتر در ژئوتکنیک، رویکرد این پژوهش رسیدن به وضعیتی بهینه از نظر فنی و اقتصادی برای دست یافتن به مدول برشی دقیق‌تر و متناسب برای دانه بندی‌های مختلف خاک می‌باشد.

دستگاه مورد استفاده، مصالح و روشها

۱- دستگاه آزمایش

استفاده از آزمایش المان‌های خمشی در راستای بررسی رفتار دینامیکی خاک‌ها گسترش یافته است. المان‌های خمشی دارای دو قطعه پیزوالکتریکی متصل به یک صفحه فلزی مرکزی می‌باشند. با توجه به خصوصیات پیزو

الکتریکی، این قطعه‌ها توانایی تبدیل ارتعاش‌های مکانیکی به بارهای الکتریکی و بالعکس را دارند.

در یک سلول المان خمشی و کششی یک جفت المان پیزو الکتریک استفاده می‌شود. یک المان پیزو الکتریک به عنوان فرستنده موج برشی و همچنین گیرنده موج فشاری و دیگری به عنوان فرستنده موج فشاری و گیرنده موج برشی بکارگرفته می‌شود.

دستگاه المان خمشی از قطعه‌ها و کاربردهای زیر تشکیل شده است

سلول فشار: برای نگهداری نمونه و اعمال فشار همه‌جانبه تیغه‌های فرستنده و گیرنده‌ی موج: برای ارسال و دریافت موجها برشی و فشاری.

دستگاه سازنده‌ی تابع موجها: این دستگاه برای ایجاد انواع موج‌های سینوسی، مربعی، مثلثی و ... به صورت پیوسته و تک پالس با قابلیت تعیین فرکانس‌های مختلف و طول موج‌های دلخواه استفاده می‌شود. دستگاه اوسیلوسکوپ: این دستگاه جهت نمایش موجها دریافتی و نیز تجزیه تحلیل بصری موج و محاسبه زمان سفرموج به کار می‌رود.

تقویت کننده‌ی موج‌ها: از آنجایی که در اثر میرایی، موج‌ها دچار کاهش دامنه می‌شوند لازم است به وسیله ای این دستگاه دامنه‌ی موج‌های تشدید شده تا به خوبی توسط دستگاه گیرنده درک شوند.

دستگاه سه محوری مورد استفاده متعلق به شرکت استارسنت آلمان و مجموعه المان خمشی ساخت شرکت آبرفت پی آژند ایران می باشد. در شکل (۱) دستگاه المان خمشی که روی دستگاه سه محوری نصب گردیده مشاهده می‌شود.

۳- روش انجام آزمایش

در بررسی‌ها نسبت تخلخل و رفتار خاک بستگی زیادی به روش نمونه سازی و بافت خاک دارد. همگن و یکسان بودن تخلخل خاک نقش مهمی در نمونه سازی دارد، لذا باید تمهیداتی اتخاذ شود که بتوان به بیشترین میزان همگنی در نمونه سازی دست یافت. در آزمایشگاه روشهای مختلفی از قبیل: روشهای بارش خشک، تراکم مرطوب، رسوبگذاری در آب و تراکم کاهش یافته وجود دارد.

در روش نمونه سازی آزمایش‌ها با ریختن هر لایه و کوبش آن لایه پایینی کمی متراکم تر می گردد ، در انتهای کار چگالی نمونه مدل ساخته شده با عمق متغیر و مدل غیر همگن می شود. راه حل جلوگیری از این مشکل استفاده از روش تراکم کاهش یافته ارائه شده توسط لاد و همکاران می باشد. در تحقیق حاضر این روش استفاده شده است [۲۵].

وقتی خاک در چند لایه متراکم می شود، تراکم لایه های بعدی باعث افزایش دانسیته خاک موجود در زیر آن لایه می گردد. تراکم لایه دوم باعث تراکم بیشتر لایه اول و تراکم لایه سوم باعث افزایش تراکم لایه های اول و دوم می شود. لذا جهت ساخت نمونه های با تراکم یکنواخت، روش تراکم کاهش یافته مطرح شده است. در این روش به طور کلی هر لایه با دانسیته کمتر از آنچه در نهایت مورد نظر است، کوبیده می شود.

با توجه به رابطه (۱) تخلخل خاک نقش اساسی و مهمی در تعیین مدول برشی خاک در حالت کرنش کوچک ایفا می کند. در این پژوهش تمامی نمونه ها حتی الامکان با تخلخلی یکسان و به صورت همگن ساخته شده اند. برای تمام اندازه دانه ها مقادیر تخلخل کمینه و بیشینه اندازه گیری و برای کلیه نمونه ها تخلخل میانگین $e_b = 0.4$ در نظر گرفته شد.

نمونه های ساخته شده تحت تنش همه جانبه در گام های



شکل (۱): دستگاه المان خمشی مورد استفاده

۲- مصالح مورد استفاده

مصالح مورد استفاده ماسه ی رودخانه ای مربوط به بخش دینور واقع در شمال شرقی شهرستان کرمانشاه کشور ایران بوده که به وسیله الک های استاندارد ASTM تجزیه و دسته بندی گردید. دانه ها پس از تجزیه در ۱۰ دسته با قطرهای مشخص مطابق جدول (۱) و شکل (۲) طبقه بندی شدند.

جدول (۱): دسته بندی دانه ها

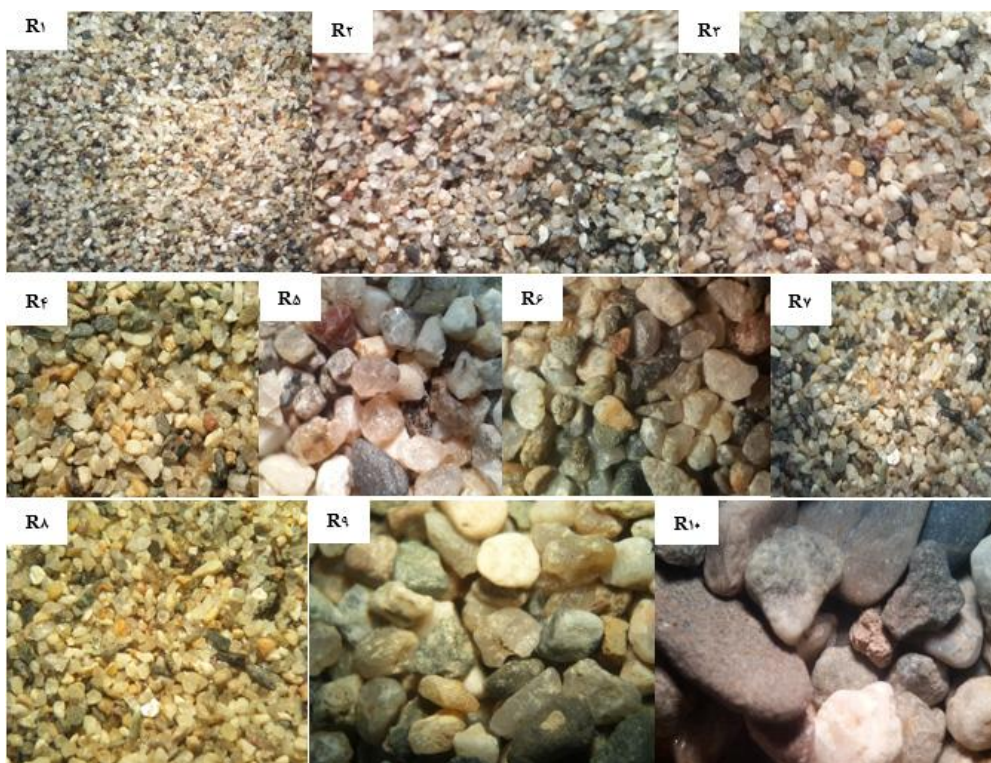
ردیف	نام دسته	اندازه دانه ها (mm)	سایز معرف (mm)
۱	R1	۰,۱۵-۰,۳۰	۰,۲۳
۲	R2	۰,۳۰-۰,۴۲	۰,۳۶
۳	R3	۰,۴۲-۰,۶۰	۰,۵۱
۴	R4	۰,۶۰-۰,۸۵	۰,۷۳
۵	R5	۰,۸۵-۱,۱۸	۱,۰۲
۶	R6	۱,۱۸-۱,۴۰	۱,۲۹
۷	R7	۱,۴۰-۲,۰۰	۱,۷۰
۸	R8	۲,۰۰-۲,۳۶	۲,۱۸
۹	R9	۲,۳۶-۴,۷۵	۳,۵۶
۱۰	R10	۴,۷۵-۹,۵۳	۷,۱۴

برای هر دسته از ذرات با اندازه ی مشخص، بصورت جداگانه آزمایش های توده ی ویژه و تخلخل بیشینه و کمینه و المان خمشی انجام که نتایج در جدول شماره (۲) نشان داده شده است.

با توجه به اینکه اندازه های قطر خاک بین دو الک دارای بازه مشخصی هستند، در نمودارها از یک اندازه بعنوان نماینده رنج مورد نظر استفاده شده است. موضوع در ستون آخر جدول (۱) ذکر شده است.

۵۰ کیلوپاسکال تا تنش نهایی ۵۰۰ کیلوپاسکال قرار داده و انجام آزمایش نشان داده شده است.

سرعت موج برشی در فرکانس‌های مختلف برای هر گام اندازه‌گیری شد. در شکل (۳) یک نمونه ساخته شده جهت



شکل (۲): تصویر نمونه های ماسه با استفاده از میکروسکوپ نوری (2000X)

جدول (۲): مشخصات مصالح و نمونه های مورد استفاده

نام گروه	قطر متوسط (میلیمتر)	دامنه وزن مخصوص خشک (گرم بر سانتی متر مکعب)		دامنه تخلخل		تخلخل مورد آزمایش	توده ویژه	تراکم نسبی	تعداد نمونه های تکراری
		حداکثر	حداقل	بیشینه	کمینه				
R1	۰/۲۲۵	۱/۴۷	۱/۲۵	۱/۱۲	۰/۸	۰/۸	۲/۶۵۹	۱۰۲	۳
R2	۰/۳۶۳	۱/۵۱	۱/۲۹	۱/۰۶	۰/۷۶	۰/۸	۲/۶۵۹	۸۷/۸	۳
R3	۰/۵۱۳	۱/۵۳	۱/۳۳	۱	۰/۷۴	۰/۸	۲/۶۴۸	۷۶	۳
R4	۰/۷۲۵	۱/۵۵	۱/۳۴	۰/۹۸	۰/۷۲	۰/۸	۲/۶۵۴	۶۸/۳	۳
R5	۱/۰۱۵	۱/۵۶	۱/۳۶	۰/۹۶	۰/۷۱	۰/۸	۲/۶۴۹	۶۲/۱	۳
R6	۱/۲۹	۱/۵۹	۱/۳۹	۰/۹۱	۰/۶۷	۰/۸	۲/۶۴۹	۴۵/۷	۳
R7	۱/۷	۱/۵۷	۱/۳۷	۱/۹۳	۰/۶۹	۰/۸	۲/۶۳۸	۵۲/۴	۳
R8	۲/۱۸	۱/۵۷	۱/۳۸	۰/۹۱	۰/۶۹	۰/۸	۲/۲۴۵	۴۹/۸	۳
R9	۳/۵۶	۱/۶۲	۱/۴۳	۱/۸۵	۰/۶۳	۰/۸	۲/۲۴۶	۲۲/۳	۳
R10	۷/۱۴	۱/۵۹	۱/۴۱	۰/۸۸	۰/۶۷	۰/۸	۲/۶۵۹	۳۷	۳

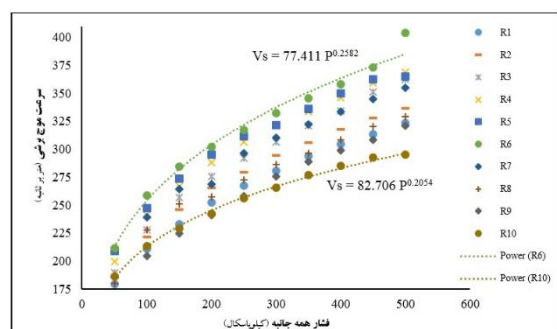
تجزیه و تحلیل معمولی سیگنال‌ها؛ برای تحلیل نتایج آزمایش المان خمشی در خاک‌ها معرفی و استفاده شد. روش همبستگی متقابل به عنوان یک روش ریاضی، تخمین قابل قبولی را در خصوص زمان سفر موج‌های برشی و طولی ارائه می‌دهد. با استفاده از این روش به راحتی می‌توان سیگنال‌های حوزه‌ی زمان را به حوزه‌ی فرکانس تبدیل نمود. تجزیه‌ی سیگنال‌ها دسته‌ای از موج‌های هارمونیک با دامنه و فرکانس مشخص را تولید می‌نماید. بطور ایده‌آل حداکثر تابع همبستگی متقابل باید بر اولین قله‌ی مثبت سیگنال دریافت شده که بیشترین مقدار را هم دارد، منطبق باشد.

برای رسیدن به نتیجه مطلوب و کاهش خطای آزمایش هر ترکیب چند بار تکرار گردید.

نتایج و بحث

در این تحقیق بنا بر هدف مقایسه‌ای نتایج تمامی نمونه‌ها با تخلخل ثابت و یکسان ($e=0.8$) می‌باشد. از آنجایی که برای هر دسته از دانه‌ها مقادیر تخلخل بیشینه و کمینه یکسان نیست. تراکم نسبی نمونه‌ها نیز با یکدیگر برابر نبوده و هر دسته از دانه‌ها دارای تراکم نسبی متفاوت اما نسبت تخلخل یکسانی می‌باشند.

تغییر مدول برشی ماکزیمم برای ۱۰ نوع دانه بندی مختلف از قطر ۰.۲۲۵، میلیمتر تا ۷.۱۴ میلیمتر و از فشار ۵۰ کیلوپاسکال تا ۵۰۰ کیلوپاسکال اندازه گیری و نتایج آن در شکل (۴) نمایش داده شده است.



شکل (۴): تغییرات مدول برشی با فشارهمه جانبه برای نمونه های مختلف.



شکل (۳): نمونه ساخته شده جهت انجام آزمایش

اندازه‌گیری‌ها به وسیله‌ی دستگاه المان خمشی در سلول سه محوری با استفاده از یک منبع مولد سیگنال و یک اوسیلسکوپ صورت گرفته‌است. زمان سفر موج (Δt) به روش همبستگی متقابل از روش‌های حوزه‌ی زمان می‌باشد. از طریق فرمول $V = L_{tt}/\Delta t$ سرعت موج برشی (V_s) و میزان مدول برشی ماکزیمم (G_{max}) را از طریق رابطه $G_{max} = \rho V_s^2$ محاسبه گردید.

روش‌های محاسبه زمان سفر موج به زیر بخش‌های الف) روش شروع تا شروع ب) روش نقطه اوج تا نقطه اوج و ج) روش تابع همبستگی متقابل تقسیم می‌شوند. روش شروع تا شروع رایج‌ترین روش تفسیر موج است. این روش اولین انحراف مثبت سیگنال دریافت شده از دامنه‌ی صفر را بعنوان زمان ورود موج برشی (t_0) در نظر می‌گیرد. از ایرادهای اصلی این روش، عدم معلوم بودن نقطه‌ی سیگنال ورودی بعلت اثر حوزه نزدیک می‌باشد.

در روش نقطه اوج تا نقطه اوج زمان سفر موج برشی بعنوان فاصله‌ی زمانی بین قله‌ی مثبت سیگنال ارسال شده و اولین قله‌ی بزرگ روی سیگنال دریافت شده تعریف می‌شود. با توجه به اثر پراکندگی ناشی از هندسه‌ی نمونه و جذب انرژی طبیعت خاک، سیگنال دریافت شده با افزایش فاصله ضعیف می‌شود. این امر در تفسیر این روش مشکل ایجاد می‌کند.

روش تابع همبستگی متقابل، برگرفته شده از روش‌های

همانگونه که از شکل (۴) استنباط می‌گردد، برای تمامی اندازه دانه‌ها با افزایش فشار همه جانبه مدول برشی افزایش می‌یابد. علت عمده آن بیشتر شدن نقاط تماسی و اصطکاک میان دانه‌ای ذرات در فشارهای بالاتر می‌باشد. در شکل (۵) نتایج تغییرات سرعت موج با افزایش اندازه دانه‌های خاک مشاهده می‌شود. در بازه‌ای از ابعاد با افزایش اندازه دانه‌ها سرعت موج برشی افزایش و در بازه دیگر سرعت موج برشی کاهش یافته است. بطوری‌که برای قطر ۰,۲۲۵ م.م تا ۱,۲۹ م.م با افزایش قطر متوسط دانه‌ها سرعت موج برشی افزایش و از قطر ۱,۲۹ م.م تا قطر ۷,۱۴ م.م با افزایش قطر متوسط دانه‌ها سرعت موج برشی کاهش می‌یابد.

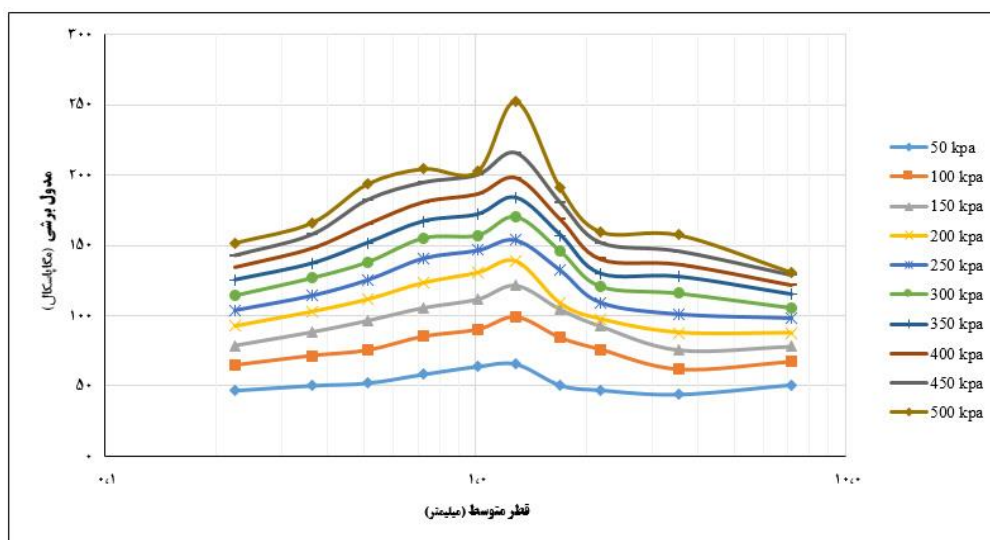
در شاخه صعودی شکل (۵) از اندازه با افزایش قطر دانه‌ها برای تمامی فشارهای همه جانبه سرعت موج برشی افزایش می‌یابد. همانگونه که می‌دانیم این افزایش اندازه میانگین دانه‌ها موجب کاهش ضریب یکنواختی و به دنبال آن باعث افزایش سرعت موج برشی و مدول برشی می‌شود. از دیگر توجیهات این افزایش می‌توان به افزایش نقاط تماسی بین دانه‌ها و تئوری تماسی هرتر اشاره کرد [۸].

در شاخه نزولی شکل (۵) با افزایش اندازه دانه‌ها سرعت موج برشی و مدول برشی کاهش می‌یابد.

از عوامل تاثیر گذار در این پدیده می‌توان به کاهش قفل و بست دانه‌ها و اصطکاک داخلی اشاره کرد. برخلاف انتظار علیرغم افزایش اندازه دانه‌ها و در نتیجه افزایش قفل بست بین آنها، سرعت موج برشی کاهش یافته، که این امر ناشی از حذف دانه‌های پرکننده و طولانی شدن مسیر انتشار موج است.

در جدول (۳) نتایج این تحقیق با یافته‌های دیگر محققین مقایسه گردیده است. در بعضی دامنه‌ها این نتایج

با نتایج دیگران مطابقت داشته و در دامنه‌ی دیگر تناقض دارد. نتایج این پژوهش با یافته‌های منک و استوکوه (۲۰۰۳)، شریفی پور و همکاران (۲۰۰۶)، هاردین (۲۰۰۵) و کنگ (۲۰۱۴)، تا اندازه ۱,۲۹ میلیمتر از نظر رفتاری مطابقت و با افزایش اندازه دانه‌ها مدول برشی نیز افزایش می‌یابد. و همچنین نتایج سینگ (۲۰۰۷)، پاتل و همکاران (۲۰۰۹)، یانگ (۲۰۱۳) و لیو (۲۰۱۴) حاکی از کاهش مدول برشی با افزایش اندازه دانه‌ها می‌باشد که نتایج این پژوهش در شاخه نزولی نمودار با یافته‌های آن‌ها مطابقت دارد اما در قسمت صعودی با نتایج آنان در تضاد می‌باشد.



شکل (۵): تغییرات سرعت موج برشی نسبت به ابعاد دانه‌ها در فشارهای همه جانبه مختلف

جدول (۳): مقایسه کلی نتایج این پژوهش با یافته‌های دیگر محققین

منک	D(mm)	۰.۳۳	۲.۶	-	-	-	-	-	-	-	-
۲۰۰۳	Gmax	۱۰۳.۹۶	۱۴۱.۵۵	-	-	-	-	-	-	-	-
هاردین	D(mm)	۰.۰۵	۰.۰۸	۰.۱۵	۰.۹۴	۳.۶	۷.۹	-	-	-	-
۲۰۰۵	Gmax	۳۴۸	۴۳۰.۶۹	۴۶۳.۷۶	۶۷۲.۲۳	۷۷۳.۳۸	۸۳۶.۰۲	-	-	-	-
سینک	D(mm)	۰.۳۳	۰.۶۵	۱.۲۵	-	-	-	-	-	-	-
۲۰۰۷	Gmax	۱۳۱.۶	۱۱۸.۱۳	۹۲.۲۲	-	-	-	-	-	-	-
پاتل	D(mm)	۰.۵	۱.۵	۲.۵	-	-	-	-	-	-	-
۲۰۰۸	Gmax	۲۰۸.۳	۱۴۷.۷۳	۱۱۰.۹۸	-	-	-	-	-	-	-
شریفی -	D(mm)	۱	۲	۳	-	-	-	-	-	-	-
پور	Gmax	۱۲۴.۱	۱۴۱.۷	۱۶۶.۴	-	-	-	-	-	-	-
۲۰۰۶											
یانگ	D(mm)	۰.۱۹۵	۰.۹۲	۱.۷۵	-	-	-	-	-	-	-
۲۰۱۳	Gmax	۲۱۶	۱۹۹.۱۱	۱۷۹.۵۵	-	-	-	-	-	-	-
لیو	D(mm)	۰.۲۴۶	۰.۴۲۷	۰.۹۶	-	-	-	-	-	-	-
۲۰۱۴	Gmax	۱۳۱	۱۲۰.۷۵	۸۱.۱۲	-	-	-	-	-	-	-
کنگ	D(mm)	۰.۰۶	۰.۲۶	۰.۴۵	۰.۵	۰.۷۳	۳	۶	-	-	-
۲۰۱۴	Gmax	۵۰.۲۶	۱۸۵.۱۲	۱۴۰.۵۲	۱۳۰.۰۸	۱۴۷.۹۸	۱۵۲.۱۴	۲۷۸.۱۸	-	-	-
تحقیق	D(mm)	۰.۲۲۵	۰.۳۶	۰.۵۱	۰.۷۲۵	۱.۰۱۵	۱.۲۹	۱.۷	۲.۱۸	۳.۵۶	۷.۱۴
حاضر	Gmax	۱۰۳.۸۲	۱۱۴.۰۴۱	۱۲۵.۲۲	۱۳۹.۷۲	۱۴۲.۳۴	۱۴۶.۵۶	۱۲۸.۶۳	۱۰۹.۲۷	۱۰۰.۱	۱۰۱.۹

نتیجه گیری

میلیمتر با افزایش قطر مدول موج برشی کاهش می‌یابد.

کاهش مدول برشی درشت دانه‌ها ناشی از حذف دانه‌های

پرکننده و طولانی شدن مسیر انتشار موج می‌باشد.

نتایج بدست آمده حاکی از آن است که در قطر متوسط

دانه‌ها از ۰.۲۲۵ تا ۱.۲۹ میلیمتر با افزایش قطر، مدول

برشی افزایش و برای قطر متوسط دانه‌ها از ۱.۲۹ تا ۷.۱۴

این تغییر مدول برشی در دامنه‌های مختلف به دو صورت افزایشی و کاهش‌ی خود را نشان می‌دهد. بطوری‌که بیشترین نرخ افزایش مدول برشی برای فشار ۵۰۰ کیلوپاسکال به میزان ۵۶٫۸۸ درصد و بیشترین نرخ کاهش مدول برشی برای همین فشار به میزان ۴۳٫۲۲ درصد می‌باشد.

مقایسه نتایج این تحقیق با یافته‌های پژوهش‌های گذشته حاکی از آن است که تحقیق حاضر در دامنه گسترده‌تری انجام گردیده است، مطابق جدول شماره (۳) نتایج این تحقیق با یافته‌های دیگر محققین مقایسه گردیده است و همان‌گونه که دیده می‌شود، از نظر سیر صعودی یا نزولی بودن مقدار مدول برشی با تغییر اندازه دانه‌ها، در بعضی دامنه‌ها این نتایج با نتایج دیگران مطابقت داشته و در دامنه‌ی دیگر تناقض دارد. از دلایل اختلاف این تحقیق با برخی محققین دیگر می‌توان به نوع دانه‌های خاک (مصنوعی یا طبیعی بودن دانه‌ها) و اختلاف در میزان تخلخل خاک اشاره نمود.

اکثر محققین دامنه محدودی از اندازه دانه‌های خاک را برای بررسی تاثیر اندازه دانه‌ها روی سرعت موج برشی و یا مدول برشی مورد مطالعه قرار داده اند. عدم مطالعه دامنه گسترده از ذرات مانع از اظهار نظر قطعی در خصوص تاثیر اندازه دانه‌ها روی سرعت موج برشی یا مدول برشی خاک شده است. در این تحقیق با استفاده از دستگاه المان خمشی نسبت به بررسی تاثیر اندازه دانه‌ها در دامنه وسیعی از آنها بر روی سیگنال‌های دریافتی، محتوی فرکانس سیگنال‌های دریافتی و سرعت موج برشی در فشار همه جانبه ۵۰ تا ۵۰۰ کیلوپاسکال اقدام شد.

در این پژوهش به تاثیر اندازه دانه‌ها پرداخته شده است اما صرفاً این عامل به تنهایی نقش تعیین کننده نداشته و به نظر می‌رسد که جنس ذرات، شکل ذرات و ویژگی‌های سطوح آن‌ها نیز می‌توانند نقش‌هایی را ایفا کنند.

بررسی نتایج این تحقیق حاکی از تاثیر تغییر اندازه دانه‌ها

روی مدول برشی خاک می‌باشد. مدول برشی G_{max} مبنای بسیاری از محاسبات نظری، آزمایشگاهی و طراحی‌های ژئوتکنیکی مانند محاسبات تغییر شکل‌ها، پایداری شیب‌ها و ارزیابی روانگرایی و تحلیل پاسخ حرکات زمین و بسیاری از اندازه‌گیری‌ها می‌باشد. بنابراین نتایج حاصله از این پژوهش می‌تواند به خوبی در زمینه‌های ذکر شده مورد استفاده قرار گیرد.

در انجام آزمایش‌ها فرضیه‌ها و محدودیت‌های مانند اعمال محیط الاستیک و رفتار خطی برای خاک، عدم توانایی دستگاه در اندازه‌گیری دانه‌های درشت شنی و همچنین تغییر تخلخل یکسان نمونه‌ها در هنگام فشار همه جانبه وجود داشت.

مراجع

- 1- Kramer, S. L. (1996) "Geotechnical earthquake engineering" Prentice Hall, Upper Saddle River, N.J
- 2- Atkinson, J. H. & Sallfors, G. (1991) "Experimental determination of soil properties" Proc. 10th ECSMFE, Folrance, Vol. 3, 915-956
- 3- Hardin, B. O. & Richart, F. E. (1963). Elastic wave velocities in granular soils. J. Soil Mech. Found. Engng Div. ASCE 89, No. SM1, 39-56.
- 4- Iwasaki Toshio, Fumio Tatsuoka, (1977) "Effect of grain size and grading on dynamic shear moduli of sand" Soil and foundations, Vol. 17, No. 3.
- 5- B. Delia and G. Lanzo, (1996) "Laboratory and field determinations of small-strain shear modulus of natural soil deposits" Eleventh World Conferrence on Earthquake Engineering.
- 6- Shang-Yuh Lin, Ping Sien Lin, Hong-Su Luo, and C. Hsein Juang, (2000) " Shear modulus and damping ratio characteristics of gravelly deposits" Can. Geotech. J. 37: 638-651
- 7- Menq. F. Y, Stokoe. K. H, (2003) "Linear dynamic properties of sandy and gravelly soils from large-scale resonant tests." Swets & Zeitlinger, Lisse, 63-71.
- 8- Shahrifipour, M & Dano, C. (2006) "Effect of grains roughness on waves

- 19- Kang. X, Bate. B, GeL, (2014)
"Characterization of Shear Wave Velocity and Its Anisotropy in Uniform Granular Materials" Geo-Congress 2014 Technical Papers, GSP 234 © ASCE; (2014); 2029-2041.
- 20- Liu. X, Yang. J, (2014), "Shear wave velocity and shear modulus of silty sand" Japanese Geotechnical Society Special Publication; (2014)907-910.
- 21- H. Choo , S.E.Burns, (2014) " Effect of overconsolidation ratio on dynamic properties of binary mixtures of silica particles" Soil Dynamic sand earthquake engineering 60, 44-50.
- 22- K. Senetakis, B.N.Madhusudhan,(2015) " Dynamics of potential fill-backfill material at very small strains" Soils and Foundations 55(5):1196–1210.
- 23- Asheesh Pradhan¹, and Xinbao Yu, (2015)
" Bender Element Testing and Discrete Element Modeling of Shear Wave in Granular Media " ASCE.
- 24- Meghdad Payan, Arman Khoshghalb, Kostas Senetakis, Nasser Khalili. (2015) " Effect of shape and validity of G_{max} models for sand: A critical" Computers and Geotechnics 72 , 28–41
- 25- Ladd, R., "Preparing Test Specimens Using Undercompaction," *Geotechnical Testing Journal*, Vol. 1, No. 1, 1978, pp. 16-23.
- velocities in granular packings" First Euro Mediterranean in Advances on Geomaterials and Structures – Hammamet 3-5 May Tunisia.
- 9- Sahaphol T, S. Miura (2004) " Shear moduli of volcanic soils " Soil Dynamics and Earthquake Engineering 25 157–165.
- 10- Bobby O. Hardin¹ and Michael E. Kalinski, (2005) " Estimating the Shear Modulus of Gravelly Soils" J. Geotech. Geoenviron. Eng. 131:867-875.
- 11- Tae-Hyuk Kwon[†] and Gye-Chun Cho, (2005) " Smart geophysical characterization of particulate materials in a laboratory " Smart Structures and Systems, Vol. 1, No. 2. 217-233.
- 12- Bartake, P. P. & Singh, D. N. (2007), "Studies on the determination of shear wave velocity in sands". Geomech. Geoenviron. Eng. 2, No. 1, 41–49.
- 13- Patel, A., Bartake, P. P. & Singh, D. N. (2008). An empirical relationship for determining shear wave velocity in granular materials accounting for grain morphology. Geotech. Test. J. 32, No. 1, 1–10.
- 14- Ruta Ireng Wicaksono^I, Yukika Tsutsum, Takeshi Sato, Junichi Koseki, and Reiko Kuwano, (2008) " Laboratory wave measurements on toyoura sand and hime gravel " Bulletin of ERS, No. 41.
- 15- A. Patel P. P. Bartake, and D. N. Singh, (2009) " An Empirical Relationship for Determining Shear Wave Velocity in Granular Materials Accounting for Grain Morphology " Geotechnical Testing Journal, Vol. 32, No. 1.
- 16- Wichtmann T and T. Triantafyllidis, (2009) ' Influence of the Grain-Size Distribution Curve of Quartz Sand on the Small Strain Shear Modulus G_{max}' J. Geotech. Geoenviron. Eng. 135:1404-1418.
- 17- J. YANG and X. Q. GU, (2013) " Shear stiffness of granular material at small strains: does it depend on grain size? " Geotechnique 63, No. 2, 165–179.
- 18- Xiaoqiang Gu, JunYang, MaosongHuang, (2013) " Laboratory measurements of small strain properties of dry sands by bender element " Soils and Foundations; 53(5):735–745.